

جلبک‌های آهکی نهشته‌های پرمین البرز مرکزی: رهیافت محیطی و چینه‌نگاری سکانسی

حسین مصدق^۱ و محمد لنکرانی^{*۲}

^۱ دانشکده علوم زمین، دانشگاه دامغان، دامغان، ایران

^۲ دانشکده زمین‌شناسی، پردیس علوم، دانشگاه تهران، تهران، ایران

تاریخ دریافت: ۱۳۸۷/۱۲/۱۴

تاریخ پذیرش: ۱۳۸۷/۱۰/۷

چکیده

رخساره‌های کربناتی پرمین در البرز مرکزی، دارای جلبک‌های آهکی فراوانی هستند. بررسی این رخساره‌ها منجر به شناسایی گونه‌های مختلفی از سیانوباكتری‌ها، جلبک‌های سبز داسی کلاداسه و ژیمنوکودیاسه و جلبک‌های فیلویید در رخساره‌های آهکی مرتب با پشتله‌های کربناتی شناسایی شده‌اند. سیانوباكتری‌ها کم و بیش به صورت قشرساز در رخساره‌های کشنیدی تا لاغونی رمپ درونی گسترش داشته و جلبک‌های سبز داسی کلاداسه و ژیمنوکودیاسه به طور عمده در رخساره‌های کم‌زرفای رمپ درونی یافته شده‌اند. جلبک‌های ژیمنوکودیاسه نسبت به داسی کلاداسه‌ها تا ژرفای بیشتری گسترش داشته‌اند. حضور سیانوباكتری‌ها در توالی‌های رسوبی منطبق بر مرز سکانسی نوع اول بوده است. جلبک‌های فیلویید در رخساره‌های مرتب با سطح پیشروی سکانس حضور داشته و بیشترین فراوانی جلبک‌های سبز داسی کلاداسه و ژیمنوکودیاسه در پیرامون بیشترین سطح غرقابی و سیستم تراکت تراز بالا ثبت شده است. فراوانی جلبک‌های سبز آهکی از قاعده به رأس پاراسکانس‌های کربناتی افزایش نشان می‌دهد. فراوان شدن جلبک‌های سبز آهکی ارتباط نزدیکی با گرم شدگی اقلیمی و گذر از شرایط سردخانه‌ای به گلخانه‌ای در پرمین البرز نشان می‌دهد.

کلیدواژه‌ها: پرمین، البرز مرکزی، جلبک‌های آهکی، شرایط محیطی، چینه‌نگاری سکانسی.

E-mail: mlankarani@khayam.ut.ac.ir

*نویسنده مسئول: محمد لنکرانی

۱- مقدمه

محیطی دیرینه و تفسیر نوسانات نسبی سطح آب دریای پرمین البرز استفاده شده است. لازم به یادآوری است که تحلیل رخساره‌های رسوبی بررسی شده، در مقاله Lankarani et al. (2009) و تفسیر سکانس‌های رسوبی و سیستم تراکت‌ها، در مقاله لنکرانی و امینی (۱۳۸۷) به طور مفصل بیان شده و در این جا تنها به بیان ارتباط میان جلبک‌های آهکی، زیرمحیط‌های رسوبی و سیستم تراکت‌های مختلف پرداخته شده است.

۲- روش‌های بررسی

برای انجام این پژوهش، پس از بررسی‌های کلی، توالی رسوبی برش گدودک به دلیل تنوع سنگ‌شناختی، مشخص بودن واحد‌های زیرین و بالایی، سهولت دسترسی، عدم تغییرشکل ساختاری و سبیرای قابل ملاحظه به عنان نمایانگر نهشته‌های پرمین البرز مرکزی انتخاب شد. پس از پیمایش‌های صحرابی و اندازه‌گیری ستون چینه‌ای، ۱۰۰ نمونه سنگی جهت یافته بر مبنای تغییرات سنگ‌شناختی انتخاب و مورد بررسی قرار گرفت. مقاطع نازک تهیه شده از این نمونه‌ها توسط محلول آبزارین سرخ و فروسیانید پتاسیم بر اساس روش Dickson (1966) رنگ آمیزی شدند. از جدول‌های مقایسه‌ای Bacelle & Bosellini (1965) در تعیین درصد فراوانی اجزای تشکیل‌دهنده رخساره‌ها استفاده شده و شاخص اندازه اجزاء (Clasticity index) بر مبنای روش Carozzi (1989) تعیین شده است. مرتع و مبنای تشخیص گونه‌های جلبکی، Bozorgnia (1973)، Riding & Guo (1977)، Mehrnush & Partoazar (1991) و Mehrnush & Partoazar (1973) بوده است. به منظور تعیین و نمایش میزان فراوانی جلبک‌های آهکی در رخساره‌ها از روش برآورد نیمه کمی (Semi-quantitative) Gallagher (1998) استفاده شده است. روش برآورد نیمه کمی (Semi-quantitative) در شناسایی رخساره‌های آهکی در رخساره‌ها از بررسی‌های آزمایشگاهی و به روش Flugel (2004) صورت پذیرفت و در نهایت با دسته‌بندی جلبک‌های آهکی، ارتباط آنها با رخساره‌های موجود مورد بررسی قرار گرفته است. به منظور تشخیص و تفکیک سکانس‌ها و سیستم تراکت‌های مختلف و رسم منحنی تغییرات نسبی سطح آب دریای پرمین در البرز مرکزی از مدل سکانس

رخنمون‌های گستردۀ ای از سنگ‌های از پرمین در پنهان البرز وجود دارد. یکی از این بروزندها، که دارای سبیرای قابل توجهی است، برش گدوك البرز مرکزی (۱۰ کیلومتری خاور فیروزکوه) است که در مختصات جغرافیایی "۵۳° ۵۲' ۴۹' ۲۵' عرض شمالی واقع است (شکل ۱). توالی رسوبی پرمین در این ناحیه به سبیرای ۳۵۰ متر در شمال جاده آسفالتی فیروزکوه- قائم شهر قابل دسترسی است (شکل ۲). این توالی از دو سازند دورود (پرمین زیرین) و روته (پرمین میانی) تشکیل یافته و سازند نسن در آن، همچون دیگر نقاط دامنه جنوبی البرز، به چشم نمی‌خورد. سازند دورود در این برش، یک سازند مختلط آواری- کربناتی (Mixed) (Siliciclastic-Carbonate) و کل سازند روته کربناتی است (Lankarani et al., 2009).

این مجموعه با نایپوستگی فرسایشی بر روی آهک‌های کربنیک‌های زیرین (سازند مبارک) قرار گرفته و با واسطه نایپوستگی دیگری که با افق‌های لاتریت- بوکسیتی مشخص می‌شود، توسط طبقات آهکی و دولومیتی تریاس زیرین (سازند الیکا) پوشانده می‌شود.

جلبک‌های آهکی (Calcareous algae) که از سازنده‌های مهم سنگ‌های کربناتی در طول تاریخ زمین‌شناسی به شمار می‌روند، در نهشته‌های پرمین البرز از فراوانی و تنوع قابل توجهی برخوردارند. در برش مورد بررسی، این جلبک‌ها در سازند دورود کمیاب بوده و تنها در رخساره‌های مختلط آواری- کربناتی بخش‌های بالای آن حضور دارند. در حالی که این جلبک‌ها در سازند روته از اجزای زیستی اصلی رخساره‌های آهکی بوده و فراوانی و تنوع خوبی نشان می‌دهند.

جلبک‌های آهکی پالنوزویک البرز توسط دیرین‌شناسانی چون Mehrnush & Partoazar (1977) و Bozorgnia (1973) این بررسی‌ها به طور عمده در برگیرنده مطالعات سیستماتیک جلبک‌ها، تشخیص انواع گونه‌ای و تعیین سن آنها بوده و کمتر از دیدگاه تحلیل محیطی و ارتباط رخساره‌ای مورد توجه قرار گرفته است. در پژوهش حاضر، افزون‌بتر شناسایی انواع جلبک‌های آهکی، ارتباط رخساره‌ای این جلبک‌ها و نحوه پراکندگی آنها در نیمرخ سکوی کربناتی مورد بررسی قرار گرفته و از این سازنده‌های زیستی در تحلیل شرایط

این نظر هم جلبک‌های سبز و هم جلبک‌های سرخ را شامل می‌شود. ساختمان داخلی جلبک‌های فیلویید بیشتر بر اثر دیاژنر از میان می‌رود. در پرمین زیرین (Cisuralian) فیلوییدها در تشکیل ریف‌ها نقش اساسی داشته‌اند اما فراوانی این جلبک‌ها از پرمین میانی (گوادالوپین) رو به افول نهاده است (Riding & Guo, 1991). جلبک‌های فیلویید در رخساره‌های آهکی بخش میانی سازند روته شناسایی شده‌اند (شکل ۴). فیلویید در چشم میانی که در رخساره‌های آهکی پوشیده شده‌اند نشان داده که بررسی‌های صورت گرفته بر روی نهشته‌های کربناتی یادشده نشان داده است. جلبک‌های سبز داسی کلاداسه و ژیمنوکودیاسه به طور عمده در رخساره‌های لagonی و پشت ریفي رمپ درونی گسترش داشته‌اند (Lankarani et al., 2009)؛ در حالی که سیانوباكتری‌ها بیشتر به صورت قشرساز در رخساره‌های کشندی تا لagonی کم‌زرفای رمپ درونی به چشم می‌خونند. جلبک‌های داسی کلاداسه بزرگ در زیرمحیط‌های پر از ریزی همچون پشت‌های کربناتی زیست آواری (Bioclastic carbonate shoal) فراوان بوده‌اند. جلبک‌های سبز ژیمنوکودیاسه در این توالی کربناتی همراه با رخساره‌های بوده‌اند. جلبک‌های سبز ژیمنوکودیاسه در این توالی کربناتی همراه با رخساره‌های کم‌زرفای دیده می‌شوند ولی نسبت به داسی کلاداسه‌ها تا ژرفای بیشتری گسترش نشان می‌دهند (شکل ۵). این جلبک‌های آهکی، بویژه در اواخر گوادالوپین، در زیرمحیط‌های دارای انرژی کم تا متوسط رمپ درونی به عنوان یک تولید کننده مهم رسوب عمل کرده‌اند. جلبک‌های فیلویید در این مجموعه به طور عمده در رخساره‌های آهکی مرتبط با پشت‌های کربناتی (Carbonate shoal) فراوان بوده‌اند (شکل ۵).

۴- جلبک‌ها و سکانس‌های رسوبی

چینه‌نگاری سکانسی (Sequence stratigraphy) علمی است که توالی‌های رسوبی را بر مبنای سکانس‌های سازنده آنها مورد تجزیه و تحلیل قرار داده و تأثیر تغییرات نسبی سطح آب دریا را در پیدایش رخساره‌ها و محیط‌های رسوبی مختلف بررسی می‌کند. یک سکانس رسوبی (Depositional sequence) به توالی نسبتاً پیوسته‌ای از طبقات که با هم ارتباط زایشی داشته و در قاعده و رأس با ناپیوستگی‌ها یا پیوستگی‌های هم‌ارز آنها محدود شده‌اند، گفته می‌شود (Mitchum, 1977) هر سکانس از اجزای کوچک‌تری به نام سیستم‌تراکت (Systems tract) تشکیل می‌شود که هر سیستم‌تراکت معرف وضعيت مخصوصی از سطح نسی آب دریاست. تشخیص سطوح اصلی سکانسی (Stratal surface) برای تفکیک سکانس‌ها و سیستم‌تراکت‌های مختلف ضروری است. این سطوح شامل مرز سکانسی (SB) سطح افت آب دریا (frs)، سطح پیش‌روی (ts) و بیشترین سطح غرقابی (mfs) هستند. از آن جا که مرز سکانسی و بیشترین سطح غرقابی کلیدی ترین سطوح سکانسی به شمار می‌آیند (Galloway, 1989)، در این بررسی نیز تأکید اصلی بر شناسایی این سطوح بوده است. با عنایت به این که تغییرات در محتوای فیلی‌طبقات رسوبی متأثر از تغییرات سطح آب دریا و جابه‌جایی محیط‌های رسوبی است (Embry, 2002) بدین منظور افزون‌بر توجه به ویژگی‌های رسوب‌شنختی واحدهای سنگی، محتوای فیلی‌آنها نیز به عنوان معیار در تفکیک سیستم‌تراکت‌ها مورد توجه قرار گرفته است. از آن جا که جلبک‌های آهکی در نهشته‌های کربناتی پرمین از فراوانی و تنوع بالایی برخوردارند و از سوی دیگر، این سازنده‌های زیستی از مهم‌ترین شاخه‌های ژرافانسنجی در رخساره‌های کربناتی به شمار می‌روند (Aguirre & Riding, 2005)، در این بررسی نحوه پراکندگی و فراوانی آنها در تشخیص سکانس‌ها و سیستم‌تراکت‌ها مورد استفاده قرار گرفته است.

بررسی‌های سکانسی در برش موردن بررسی نشان می‌دهد که در رخساره‌های مرتبط با افت سطح آب دریا هیچ گونه جلبک سبزی دیده نمی‌شود. فراوانی و تنوع جنس‌های جلبک‌های سبز آهکی (داسی کلاداسه و ژیمنوکودیاسه) در هنگام پایین بودن نسبی سطح آب دریا نیز ناچیز بوده و در مقابل، بیشترین فراوانی و تنوع این

رسوبی ارائه شده توسط Hunt & Tucker (1992) استفاده شده است.

۳- انواع جلبکی و ارتباط رخساره‌ای

بر اساس بررسی‌های میکروسکوپی در برش گدوک، گونه‌های فیلی‌ای از سیانوباكتری‌ها (Cyanobacteria)، جلبک‌های سبز داسی کلاداسه (Dasycladacean) و ژیمنوکودیاسه (Gymnodiacean) و جلبک‌های فیلویید (Phylloid algae) شده است. سیانوباكتری‌ها، که پیش‌تر با نام جلبک‌های سبز-آبی شناخته می‌شدند، در این آهک‌ها به طور عمده در رخساره‌های پیرامون کشندی (Peritidal) رمپ داخلی به چشم می‌خورند. Girvanella و Tubiphytes مهم‌ترین سیانوباكتری‌های شناخته شده در این مجموعه به شمار می‌روند. Tubiphytes دارای ساختمانی لخته‌ای شکل و قشرساز به رنگ تیره متشکل از یک سری باندهای غیر یکنواخت با یک سیستم کانال مرکزی است. این جنس که از کربنیفر تا کرتاسه گسترش داشته، در پرمین فراوان بوده است (Riding & Guo, 1991). گونه Tubiphytes obscurus پرمین میانی (Guadalupian) در این توالی شناخته شده است (لتکرانی و مصدق، ۱۳۸۷) (شکل ۳). Girvanella جنس دیگری از سیانوباكتری‌ها است که از پرمین به طور گستردگی گزارش شده است (Riding & Guo, 1991). این سیانوباكتری در رخساره‌های گدوک بیشتر به صورت قشرساز (Encruster) در پیرامون اجزای اسکلتی چون دو کفه‌ای و روزن بر دیده شده و در مواردی بر اثر دیاژنر به میکرایت تجزیه یافته است. گونه Girvanella wetheredi در این توالی تشخیص داده شده است (شکل ۳).

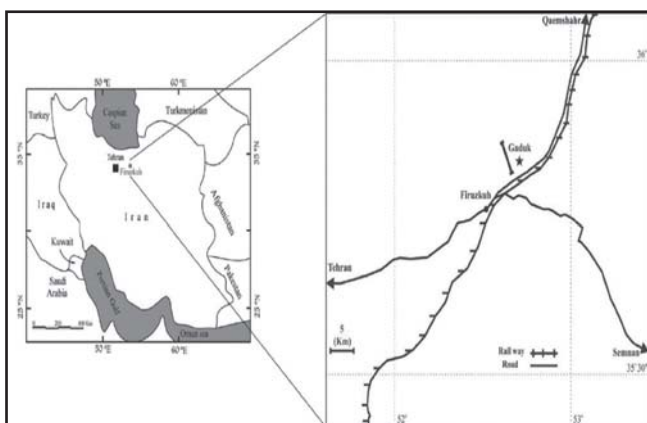
جلبک‌های سبز داسی کلاداسه جلبک‌هایی ایستاده و درخت مانند و به نسبت ستر دریواره با دیواره‌ای حفره‌دار بوده‌اند (Bucur & Sarasan, 2005). این جلبک‌ها که از کربنیفر تا پلیوسن در دوره‌هایی با تابع ۲۰ تا ۵۰ میلیون ساله فراوان شده‌اند، بیشترین تنوع را در پرمین، کرتاسه زیرین و پالئوسن نشان می‌دهند (Aguirre & Riding, 2005). در دوران پالئوزیک، بیشترین تنوع این دسته جلبک‌ها از گوادالوپین گزارش شده است (Riding & Guo, 1991). داسی کلاداسه‌ها، جلبک‌های سبز دریایی کفزی بوده‌اند که بخش خارجی تالوس آنها عموماً به شدت کلسیتی شده و به همین علت نسبت به دیگر جلبک‌های سبز نگاشت رسوبی بهتری از خود در تاریخ زمین‌شناسی به جا گذاشته‌اند. داسی کلاداسه‌ها کم و بیش در تمامی ادوار زمین‌شناسی در لagonهای پشت ریفي و خلیج‌های کم‌زرفایی بهترین این رخساره‌های آبهای شفاف و گرم محدود بوده‌اند (Wray, 1977; Elliot, 1991). گونه‌ای Mizzia sp., Macroporella apachena, Vermiporella niponica, Vermiporella sp. از آهک‌های سازند روته در این برش شناسایی شده‌اند (شکل‌های ۳ و ۴). جلبک‌های ژیمنوکودیاسه که در متابع مرتع جدید جزو جلبک‌های سبز رده‌بندی می‌شوند (Bucur, 1994)، دارای اسکلتی افراشته، استوانه‌ای و کیسه‌ای شکل با بخش درونی رشتهدی و دیواره‌ای نازک و حفره‌دار بوده‌اند (Riding & Guo, 1991). ژیمنوکودیاسه‌ها ترکیبی آراغونیتی داشته و اسکلت آنها تحت تأثیر دیاژنر، کلسیتی شده و یا با رسوب پر شده است (Flugel, 2004). این گروه از دونین میانی تا اواخر ترکیبی می‌زیسته و در پرمین از بیشترین فراوانی برخوردار بوده‌اند. آنها در تشکیل رخساره‌های وکستون-پکستونی زیست آواری در رمپ‌های کربناتی پرمین میانی-بالایی خوبه تیس نقشی اساسی ایفا کرده‌اند (Flugel, 2004). ژیمنوکودیاسه، به همراه داسی کلاداسه، رخساره‌های غیرریفي آبهای دریایی را تشکیل می‌دادند (Riding & Guo, 1991). گونه‌های Permocalculus sp. و Gymnocodium sp. از این جلبک‌ها در آهک‌های سازند روته تشخیص داده شده‌اند (شکل ۳).

جلبک‌های فیلویید (Phylloid algae) به طور عمده از کربنیفر بالایی-پرمین گزارش شده‌اند. فیلویید یک اصطلاح ریخت‌شنختی (به معنای برگ مانند) است و از

البرز مرکزی به شمار می‌روند. بررسی انواع جلبکی، میزان فراوانی و نحوه پراکندگی آنها در رخساره‌های کربناتی این برش، وجود ارتباط میان این جلبک‌ها و رخساره‌های وابسته به بخش‌های مختلف سکویی کربناتی را اثبات می‌کند. بررسی‌های آزمایشگاهی صورت گرفته در این توالی رسوبی به شناسایی گونه‌های مختلفی از سیانوباکتری‌ها، جلبک‌های سبز داسی کلاداسه و ژیمنوکودیاسه و جلبک‌های فیلوبید انجامیده است. گونه‌های *Tubiphytes obscurus* و *Girvanella wetheredi* از سیانوباکتری‌ها شناسایی شدند که بیشتر به صورت قشرساز در رخساره‌های کشنده تلاگونی رمپ *Mizzia* sp., *Macroporella apachena*, *Permocalculus* sp. و *Vermiporella nipponica*, *Vermiporella* sp. داده شدند که به طور عمده با رخساره‌های وابسته به بخش‌های کمزرف و لاغونی رمپ درونی همراه بوده‌اند. از جلبک‌های سبز ژیمنوکودیاسه، گونه‌های *Gymnocodium* sp. و *Gymnophyllum* sp. در این توالی رسوبی شناسایی شده‌اند. این جلبک‌ها نیز همراه با رخساره‌های کمزرف دیده می‌شوند اما نسبت به داسی کلاداسه‌ها، تارهای پیشتری گسترش نشان می‌دهند. جلبک‌های فیلوبید به طور عمده در رخساره‌های آهکی مرتبط با پشت‌های کربناتی (Carbonate shoal) (فراآن بوده‌اند. بررسی‌های چینه‌نگاری سکانسی و بررسی ارتباط میان جلبک‌های آهکی و فراوانی آنها با سطوح کلیدی سکانسی و سیستم تراکت‌های تشکیل دهنده سکانس‌های رسوبی مشخص ساخت که سیانوباکتری‌ها به طور عمده در موقعیت مرز سکانسی نوع اول گسترش داشته‌اند. جلبک‌های فیلوبید در رخساره‌های مرتبه با سطح پیشرونده بیشترین فراوانی جلبک‌های سبز داسی کلاداسه و ژیمنوکودیاسه بر ادور بالا بودن نسبی سطح آب دریا منطبق بوده است. فراوانی جلبک‌های سبز آهکی در رخساره‌های بخش‌های پاراسکانس‌ها مقایسه در صد جلبک‌های سبز آهکی در رخساره‌های بخش‌های قاعده‌ای پاراسکانس‌ها با بخش‌های رأسی نشان داده که این مقدار از کمتر از ۳۰٪ در قاعده پاراسکانس‌ها به بیش از ۳۰٪ در بخش‌های بالایی می‌رسد. این نوشتر با نشان دادن اهمیت جلبک‌های آهکی در تحلیل شرایط محیطی دیرینه و تفسیر نوسان‌های نسبی سطح آب دریا، استفاده از آنها را در بررسی‌های مشابه به پژوهشگران علوم زمین توصیه می‌کند.

سپاسگزاری

نویسنده‌گان مقاله از رهنمودهای سازنده داوران محترم که موجب ارتقای کیفیت متن حاضر شده است، نهایت امتنان را دارند.



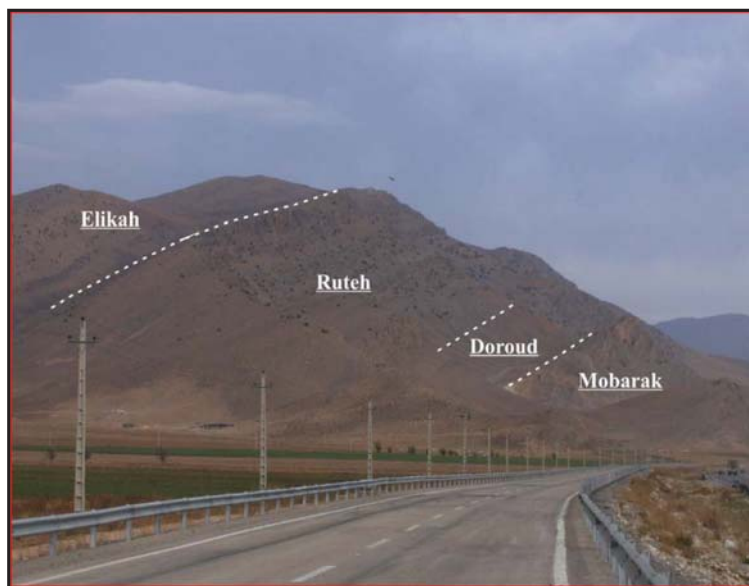
شکل ۱- موقعیت جغرافیایی برش گدوک در البرز مرکزی و راه‌های دسترسی به آن

جلبک‌ها بر ادور بالا بودن نسبی سطح آب دریا منطبق بوده است. سیانوباکتری‌ها به طور عمده در همراهی با رخساره‌های کشنده گسترش یافته در مرز سکانسی نوع اول دیده می‌شوند. جلبک‌های فیلوبید، همچون سیانوباکتری‌ها، در توالی رسوبی حضور محدود داشته و تنها در رخساره‌های پشت‌های کربناتی توسعه یافته در سطح پیشروی (ts) به چشم می‌خورند. این جلبک‌ها، به سبب نرخ رشد و بازیابی سریع، می‌توانند به عنوان ابزار مفیدی برای تشخیص سطوح غرقابی (Flooding surface) در سکانس (همچون سطح پیشروی و بیشترین سطح غرقابی) مورد استفاده قرار گیرند.

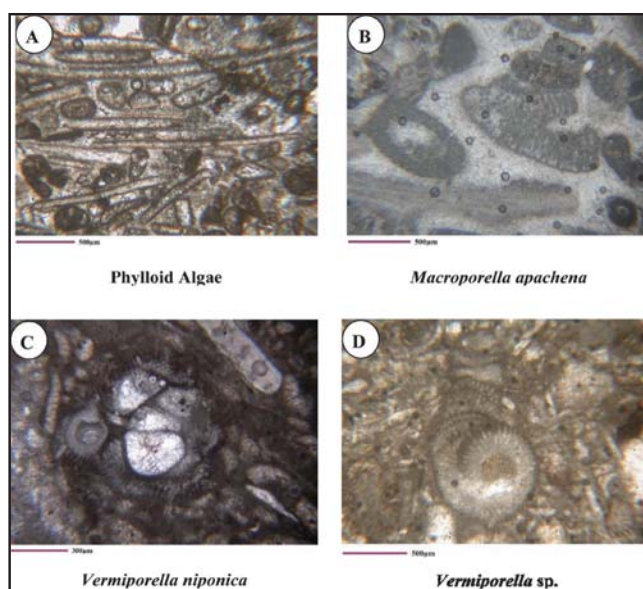
فراوانی جلبک‌های سبز آهکی و تنوع جنس‌ها و گونه‌های آنها با تغییرات سطح آب دریا و دمای دیرین ارتباط تنگاتنگی دارد (Aguirre & Riding, 2005) (شکل ۶). علت این ارتباط آن است که زیست‌بوم این موجودات، محیط‌های دریایی گرم و کمزرف بوده است و از این رو، در دوران‌های گلخانه‌ای (Green-house) که این محیط‌ها بیشترین گسترش را دارند، فراوانی و تنوع این زیستمندان نیز افزایش نشان می‌دهد. از سوی دیگر، در دوره‌های گلخانه‌ای، به دلیل ذوب یخ‌های قطبی، سطح جهانی آب دریاها بالا آمده و دریاهای سکویی در سطح فلات‌های قاره‌ای (Continental shelf) به بیشینه گسترش خود می‌رسد. بنابراین توسعه محیط‌های سکویی شرایط مساعدی را برای شکوفایی این زیستمندان فراهم می‌کرده است. رخداد یخچال‌زایی (Glaciation) گستردگی در سطح ابرقاره گندوانا در اوایل کربنیفر (Ross & Ross, 1987) منجر به توسعه شرایط سردهخانه‌ای (Ice-house) و افت جهانی سطح آب دریاها شد. این رخداد به صورت گسترش نایپوتستگی عمله می‌کرینه-پرمین در البرز ثبت شده است. با شروع دوره گلخانه‌ای و ذوب یخچال‌های گندوانا (Deglaciation) در پرمین زیرین، سطح آب دریاها در البرز، هم‌با دیگر نقاط جهان، شروع به بالا آمدن کرد و یک رمپ کربناتی گرم‌سیری در این ناحیه توسعه یافت. این شرایط به نفع جلبک‌های آهکی تمام شده و فراوانی و تنوع آنها در این برهه به بیشینه خود رسید. پژوهش حاضر روش ساخته که بیشترین فراوانی جلبک‌های سبز آهکی در واحدهای رسوبی البرز مرکزی در گواوال‌الپین بالایی (Upper Guadalupian) بوده است (شکل ۷). این زمان با بیشترین بالا آمدگی سطح آب دریاها در پرمین انبساط کامل نشان می‌دهد (Ross & Ross, 1987). آقاباتی (۱۳۸۳) نیز بیشترین گسترش دریایی پرمین را در زمان رسوبگذاری سازند روته (پرمین میانی) می‌داند. بررسی‌های سکانسی مشخص ساخته که فراوانی جلبک‌های سبز آهکی در رخساره‌های گسترش یافته در سیستم تراکت پیشرونده (TST) همواره کمتر از ۳۰٪ بوده است. علت این امر به احتمال سطح اتریزی بالای محیط و رخداد غرقاب‌های پی در پی در این مرحله بوده که در عمل مانع از انباست بالای جلبک‌های سبز در محیط می‌شده است. رخساره‌های سیستم تراکت تراز بالای آب دریا (HST) (به طور عمده دارای مقادیر بالایی (بیش از ۳۰٪) از این جلبک‌ها بوده‌اند. علت این امر آن است که در این مرحله، برابری نسبی میزان تأمین رسوب (Sediment supply) با میزان فضای رسوبگذاری (Accommodation space) (MGS) موجب ایجاد توازن در حوضه و گسترش محیط‌های آرام و کمزرف می‌شود که این شرایط برای جلبک‌های آهکی به طور کامل مساعد است. همچنین از قاعده به رأس پاراسکانس‌های کمزرف شونده (Shallowing upward) بخش بالایی توالی گندوانک، فراوانی این اجزاء در رخساره‌ها افزایش می‌یابد. به طوری که این مقدار در بخش‌های قاعده‌ای (واجد رخساره‌های رمپ میانی) کمتر از ۴۰٪ و در بخش‌های بالایی پاراسکانس‌ها (واجد رخساره‌های رمپ درونی) عموماً بیش از ۳۰٪ بوده است (شکل ۷).

۵- نتیجه‌گیری

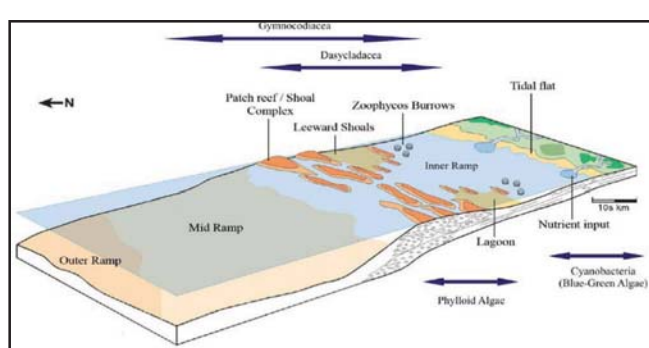
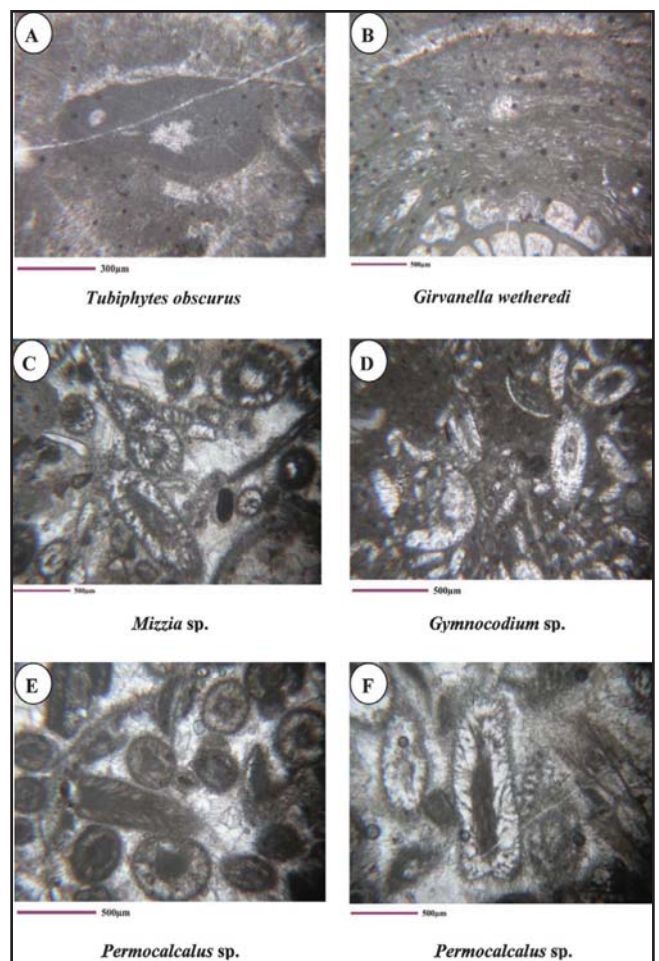
جلبک‌های آهکی از مهم‌ترین سازنده‌های زیستی نهشته‌های پرمین برش گدوک در



شکل ۲- بروند نهشته‌های پالتوزوییک بالایی و مزوزوییک زیرین در شمال خاوری فیروزکوه، البرز مرکزی.
مرز میان سازنده‌ها با خط چین مشخص شده است.

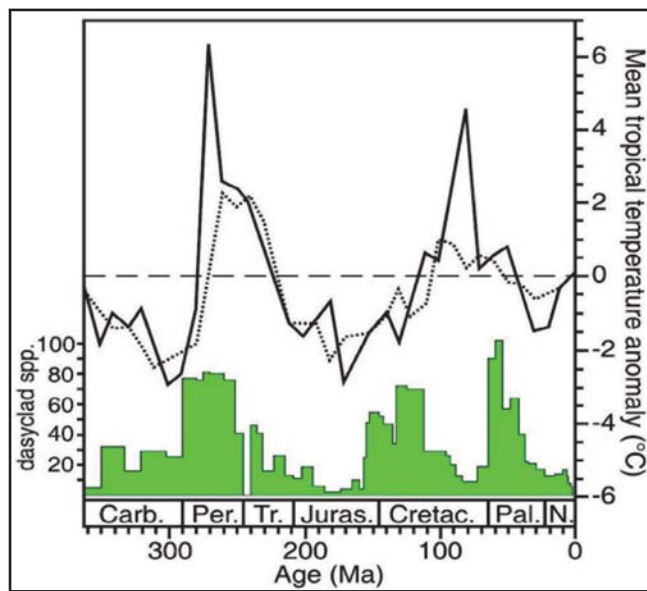


شکل ۴- جلبک‌های آهکی پرمین در برش گدوک البرز مرکزی

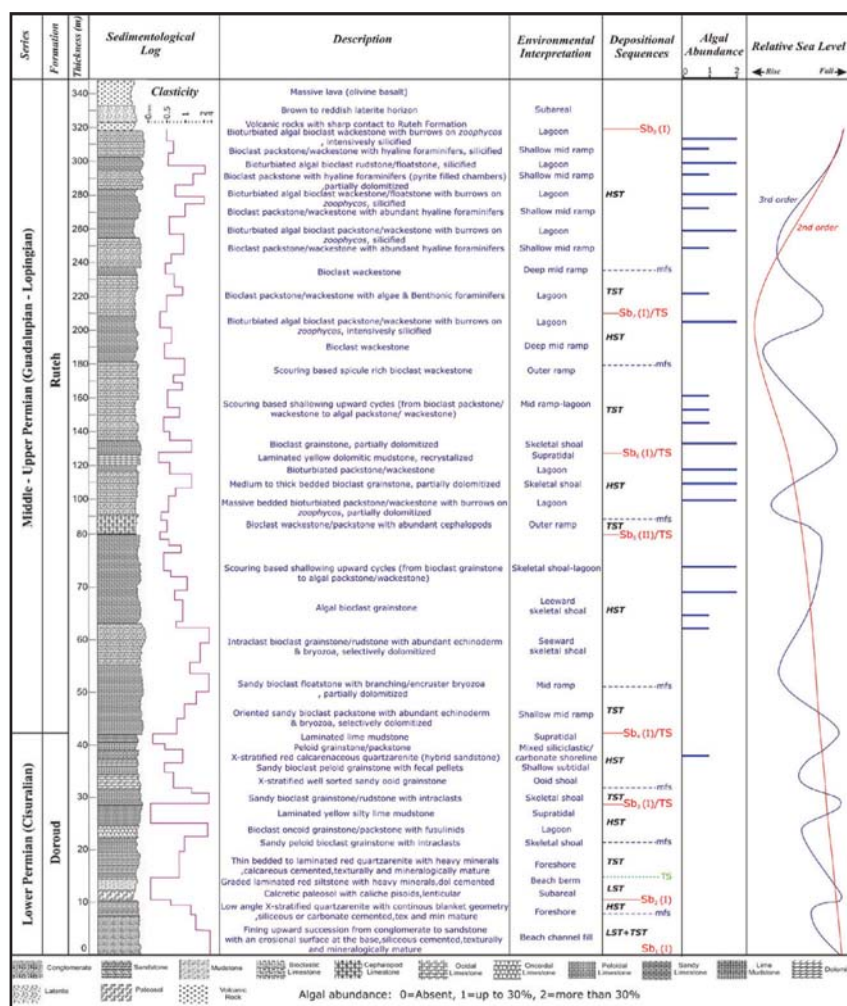


شکل ۵- پراکندگی جلبک‌های آهکی در نیم‌رخ رمپ کربناتی هم‌شیب، پرمین البرز مرکزی

شکل ۳- جلبک‌های آهکی پرمین در برش گدوک البرز مرکزی



شکل ۶- تنوع گونه‌های جلبک‌های سبز آهکی در ارتباط با دمای دیرین (از Aguirre & Riding, 2005)



شکل ۷- نمودار رسوب شناختی بر شرایط محيطی رخساره‌ها و منحنی تغییرات نسبی سطح آب دریای پرمین در البرز مرکزی

كتابنگاري

- آقاباتی، س.ع.، ۱۳۸۳- زمین‌شناسی ایران، سازمان زمین‌شناسی و اکتشافات معدنی کشور، ۵۸۳ صفحه.
- لنکرانی، م.، امینی، ع.، ۱۳۸۷- چینه‌نگاری سکانسی نهشته‌های پرمین (ابرسکانس آبزار و کای میانی) در ناحیه گدروک، البرز مرکزی، فصلنامه زمین‌شناسی ایران، سال دوم، شماره هشتم، صفحه ۴۵-۲۹.
- لنکرانی، م.، مصدق، ح.، ۱۳۸۷- جلبک‌های آهکی نهشته‌های پرمین البرز مرکزی: طبقه‌بندی و ارتباط رخساره‌ای، مجموعه مقالات دومین همایش انجمن دیرینه‌شناسی ایران، صفحه ۱۰۵-۱۰۸.

References

- Aguirre, J. & Riding, R., 2005- Dasycladalean Algal Biodiversity Compared with Global Variations in Temperature and Sea Level over the Past 350 Myr, *PALAIOS*, 20: 581-588.
- Bacelle, L. & Bosellini, A., 1965- Diagrammi per la stima visiva della composizione percentuale nelle rocce sedimentarie, *Sci.Geol.Paleont*, 1: 59-62.
- Bozorgnia, F., 1973- Paleozoic Foraminiferal Biostratigraphy of Central and East Alborz Mountains (Iran), N.I.O.C Pub, No.4, 183 p.
- Bucur, I. I. & Sasaran, E., 2005- Relationship between algae and environment: an early Cretaceous case study, Transcau Mountains, Romania, *Facies*, 51: 274-286.
- Bucur, I. I., 1994- Lower Cretaceous Halimedaceae and Gymnocodiaceae from southern Carpathians and Apuseni Mountains (Romania) and the systematic position of the Gymnocodiaceae, *Beiträge zur Paläontologie*, 19: 13-37.
- Carozzi, A.V., 1989- Carbonate rock depositional model: a microfacies approach, Prentice Hall, 604 p.
- Dickson, J. A. D., 1966- Carbonate identification and genesis as revealed by staining, *J. Sed.Petrol*, 36: 491-505.
- Elliott, G. F., 1991- Dasycladacean algae of the Palaeozoic and Mesozoic, In: Riding R. (ed.) *Calcareous algae and stromatolites*, Springer, pp125-130.
- Embry, A., 2002- Transgressive-Regressive (T-R) Sequence Stratigraphy, *Gulf Coast Association of Geological Societies Transactions*, 52: 151-172.
- Flügel, E., 2004- Microfacies of Carbonate rocks, Springer-Verlag, 976 p.
- Gallagher, S. J., 1998- Controls on the distribution of calcareous Foraminifera in the Lower Carboniferous of Ireland, *Marine Micropaleontology*, 34: 187-211.
- Galloway, W. E., 1989- Genetic Stratigraphic Sequences in basin analysis (I), architecture and genesis of flooding-surface bounded depositional units, *AAPG Bulletin*, 73: 125-142.
- Hunt, D. & Tucker, M. E., 1992- Stranded parasequences and the forced regressive wedge systems tract: deposition during base-level fall, *Sed.Geol.*, 81: 1-9.
- Lankarani, M., Amini, A. & Mosadegh, H., 2009- Facies Analysis and Depositional Environment of the Permian Siliciclastic-Carbonate Transition, Central Alborz, Iran. *Journal of Damghan University of Basic Sciences*, 2: 25-36.
- Mehrush, M. & Partoazar, H., 1977- Selected microfauna of Iran, G.S.I. Rep No.33, 397p.
- Mitchum, R. M., 1977- Glossary of terms used in seismic stratigraphy, In: Payton C.Z. (ed.): *Seismic stratigraphy - applications to hydrocarbon exploration*, AAPG Bull, 26: 205-212.
- Riding, R. & Guo, L., 1991- Permian marine calcareous algae. In: Riding R. (ed.) *Calcareous algae and stromatolites*. Springer, pp452-480.
- Ross, C. A. & Ross, J. R. P., 1987- Late Paleozoic sea level and depositional sequences. Cushman Foundation for Foraminifera Research, Spec.pub.24: 137-149.
- Wray, J. L., 1977- *Calcareous Algae*, Elsevier Scientific Publishing Company, 185 p.

Keywords: Seismic Tomography, Tomogram, Dam, Seepage, Seismic, Inversion, Lugeon, Seepage Potential

For Persian Version see pages 71 to 78

*Corresponding author: Y. Sharghi; E-mail: YSharghi@sut.ac.ir

Calcareous Algae of the Permian Deposits in Central Alborz: An Environmental and Sequence Stratigraphic Approach

H. Mosadegh¹ & M. Lankarani^{2*}

¹ Faculty of Geoscience, Damghan University, Damghan, Iran

² Faculty of Geology, University College of Science, University of Tehran, Tehran, Iran

Received: 2008 December 27

Accepted: 2009 March 04

Abstract

The carbonate facies of Permian in Gaduk area (Central Alborz) are dominated by calcareous algae. Study of the facies resulted in recognition of several species of Cyanobacteria, Dasycladacean and Gymnocodiacean green algae and also Phylloid algae. In the studied succession, Phylloid algae are identified in carbonate shoal facies. Cyanobacteria mostly occurred in tidal to lagoonal facies, as encrusters. Dasycladacean and Gymnocodiacean green algae mostly occurred in inner ramp facies. Gymnocodiaceans were found in deeper parts in comparison to Dasycladaceans. Occurrence of Cyanobacteria in depositional sequences coincides with type-one sequence boundaries. Phylloid algae are identified in the facies related to transgressive surfaces and maximum abundance of Dasycladaceans and Gymnocodiaceans was found around maximum flooding surfaces and in highstand systems tracts. Abundance of the calcareous algae shows an increasing trend from the base to the top of carbonate parasequences. Proliferation of the calcareous algae was found in close relationship to climate warming and ice-house to green-house transition in Permian of Alborz.

Keywords: Permian, Central Alborz, Calcareous Algae, Environmental Condition, Sequence Stratigraphy

For Persian Version see pages 79 to 84

* Corresponding author: M. Lankarani ; E-mail: mlankarani@khayam.ut.ac.ir

Various stages of Sulfide Mineralization in Sargaz Volcanogenic Massive Sulfide Deposit, Northwest Jiroft, Southern Sanandaj-Sirjan

Z. Badrzadeh^{1*}, M. Sabzehei², E. Rastad¹, M. H. Emami², D. Gimeno³

¹Department of Geology, Faculty of Basic Sciences, Tarbiat Modares University, Tehran, Iran.

²Geological Survey of Iran, Tehran, Iran.

³University of Barcelona, Barcelona, Spain.

Received: 2008 April 22

Accepted: 2009 April 06

Abstract

The Sargaz massive sulfide deposit is situated near Jiroft (south-east Kerman), in the southern Sanandaj-Sirjan Zone. The host rocks are Upper Triassic to lower Jurassic(?) pillow basalt. The occurrence of mineralization in basaltic to basaltic andesite, the existence of Jaspilite and Fe-Mn horizons in distal part of the deposit, the occurrence of a stringer zone discordantly under massive ore, the presence of pyrite as the main sulfide mineral, brecciated textures and mineralogical zonation in the massive ore, all suggest that the Sargaz deposit can be classified as a volcanogenic massive sulfide deposit. The mineralogy is reasonably simple, with pyrite being the main sulfide mineral, with lesser chalcopyrite and sphalerite. On the basis of different generation of minerals, shape, size, their mutual geometry, relative timing of crosscutting structures and replacement features, brecciated textures and mineralogical zonation indicate that the growth history of the Sargaz deposit was complex due to syn and post depositional processes. Based on mineralogical, textural and paragenetic relationships, four principal stages of mineralization are recognized. Stage I mainly consist of fine grained pyrite (As rich), and locally sphalerite, quartz and barite. Framboidal pyrite, colloform